

Sapere Aude
Reflexión ante nuevos retos

NUEVOS RETOS EN LA VALORACIÓN DEL ESTADO NUTRICIONAL. LA VALORACIÓN MORFOFUNCIONAL COMO RESPUESTA A LA DESNUTRICIÓN RELACIONADA CON LA ENFERMEDAD (DRE): TÉCNICAS EMERGENTES

Ecografía nutricional®



Carmen J. Blanco Bermejo

Hospital Universitario Virgen de la Victoria de Málaga/Facultativo especialista de área/Servicio Andaluz de Salud/Universidad de Málaga



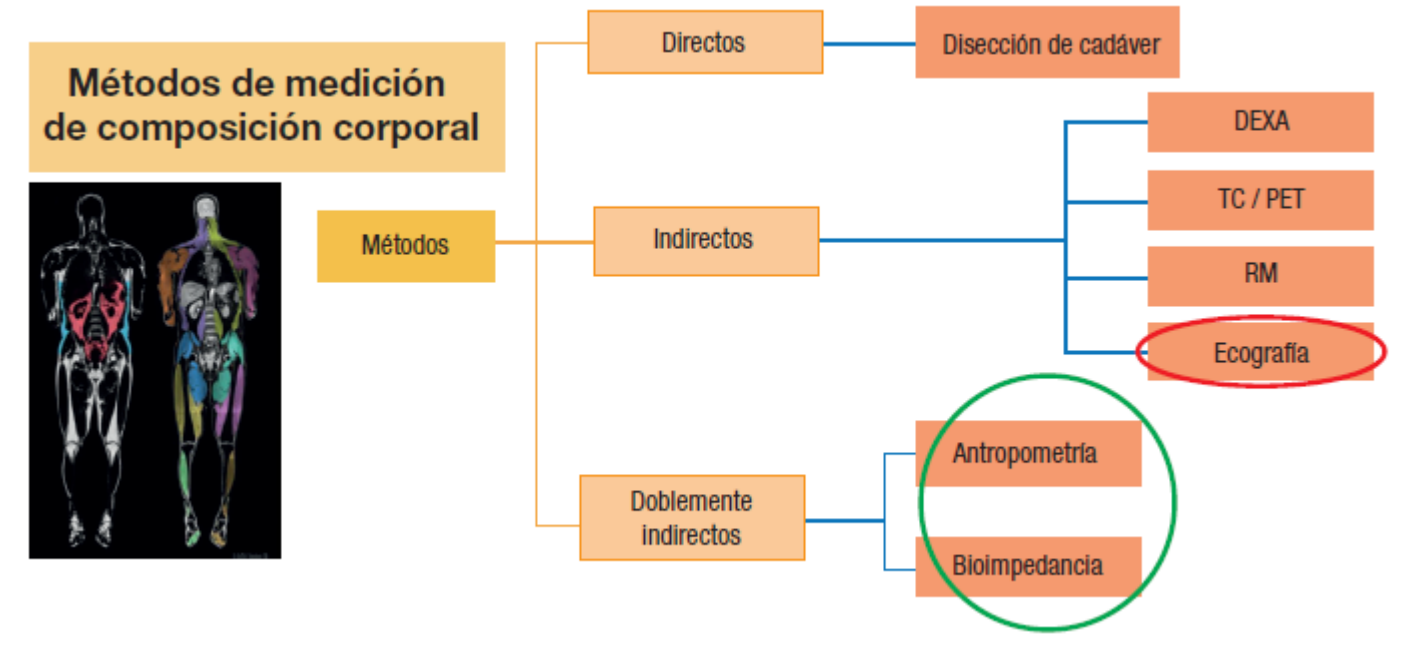
## ¿Qué es la Ecografía Nutricional®?

La ecografía nutricional<sup>®</sup> (NU<sup>®</sup>) es una técnica emergente, económica, portátil y no invasiva que utiliza ultrasonido para evaluar la composición corporal, enfocándose en la masa magra (muscular) y la masa grasa (adiposa).

Se realiza con sondas lineales de banda ancha y multifrecuencia, con una profundidad de campo de 20 a 100 mm. La técnica permite evaluar áreas musculoesqueléticas y adiposas, proporcionando información morfológica y funcional.







Métodos de medición de la composición corporal (DEXA: dual-energy absorptiometry; TC/PET: tomografía computarizada/tomografía por emisión de positrones; RM: resonancia magnética).

Nutr Hosp 2023;40(N.º Extra 1):9-14





## Procedimiento Técnico

01

#### Posición del paciente

El paciente debe estar en posición supina y relajada.

03

#### Cortes estandarizados

**Transversal:** Permite medir el área y la circunferencia del músculo recto femoral (QRF) y el grosor del tejido adiposo subcutáneo superficial y profundo, y grasa visceral.

Longitudinal: Útil para evaluar características morfométricas como la longitud de los fascículos y el ángulo de penación muscular.

02

#### Localización anatómica

En la pierna, se utiliza una línea imaginaria entre la espina ilíaca anterosuperior y el borde superior de la rótula, marcando el tercio inferior de esa distancia

En el abdomen, el punto de medición se establece en el medio entre el apéndice xifoides y el ombligo.

04

#### **Mediciones**

En el músculo QRF: Se evalúan los ejes X (lateral) y Y (anteroposterior), el área muscular y la circunferencia.

En el tejido adiposo: Se mide el grosor del tejido subcutáneo superficial y profundo, así como la grasa visceral (preperitoneal e intraperitoneal).



https://doi.org/10.1016/j.endinu.2022.03.008



## Aspectos Técnicos Clave

Modo B

La ecografía utiliza el modo B (escala de grises) para generar imágenes de los tejidos.

Frecuencia de la sonda

Debe ajustarse según la profundidad y resolución necesarias: frecuencias altas ofrecen mayor resolución pero menor penetración.

Precisión

Se recomienda realizar tres mediciones y calcular el promedio para aumentar la precisión.













# Ventajas de la Ecografía Nutricional®

- Portabilidad y bajo costo
  - Equipo accesible y transportable para uso en diferentes entornos clínicos.
- No utiliza radiación ionizante
  - Técnica segura sin exposición a radiación, ideal para seguimientos repetidos.
- Evaluación dinámica
  - Permite evaluar cambios dinámicos en la calidad muscular, como la infiltración grasa (miosteatosis) y la fibrosis. Así como edemas.



## Correlación de la Ecografía Nutricional con otros Parámetros Clínicos

La ecografía nutricional\* ha demostrado una correlación sólida y estadísticamente significativa con diversas técnicas de evaluación de la composición corporal y parámetros funcionales, estableciéndose como una herramienta diagnóstica confiable y accesible en el entorno clínico.

#### Técnicas de Imagen Avanzadas

Correlación positiva con bioimpedancia eléctrica (BIA), absorciometría de rayos X de doble energía (DXA) y tomografía computarizada (CT)

Ventaja económica frente a métodos gold standard

#### Evaluación Funcional

Asociación significativa con pruebas de capacidad física y fuerza muscular

- Dinamometría de mano
- Capacidad de ejercicio
- Velocidad de marcha y equilibrio

#### Ventajas Clínicas

Mayor accesibilidad y menor costo comparado con técnicas tradicionales

- Reducción de costes
- Disponibilidad en consulta ambulatoria
- · Tiempo de evaluación: 10-15 minutos





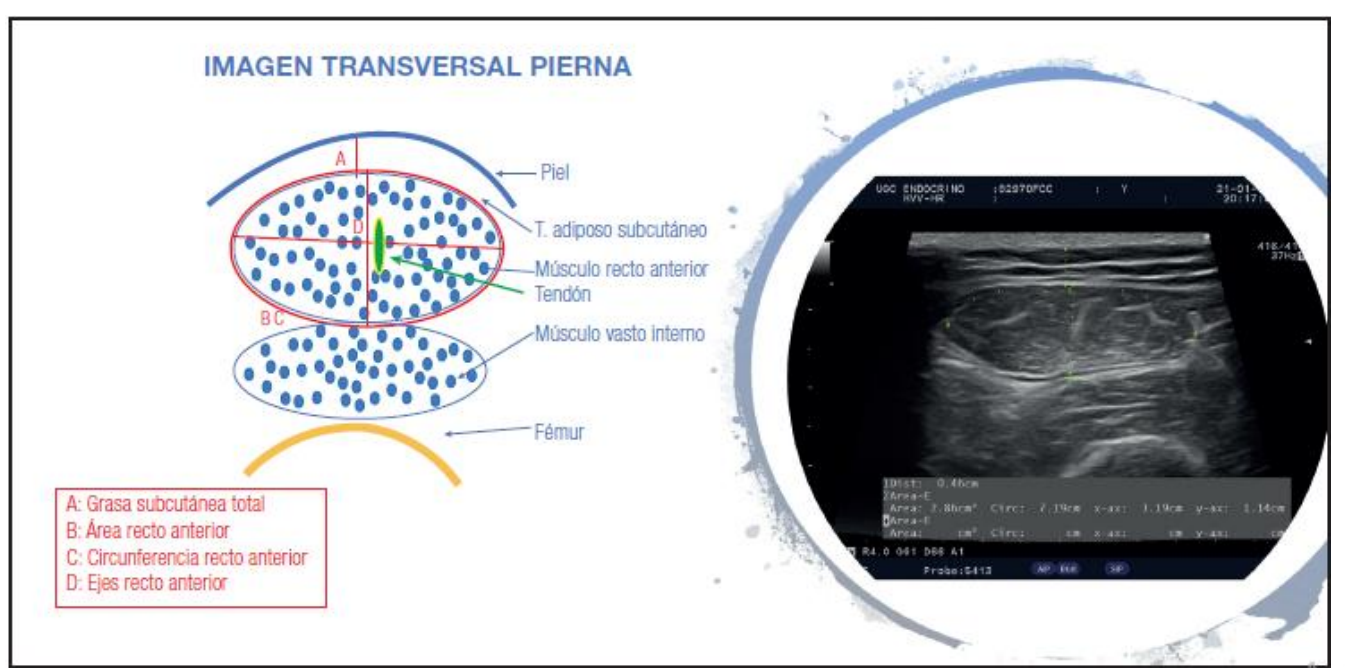
Con el paciente en **decúbito supino** con las rodillas extendidas y relajadas, determinar la altura de medición en el **tercio inferior** de la línea imaginaria entre la **cresta ilíaca** anterosuperior y el borde superior de la **rótula**.

Para minimizar la **variabilidad** de la medida, repetir la medición tres veces y tomar como resultado el valor **medio.** 













#### IMAGEN TRANSVERSAL PIERNA

La medición del área del músculo recto femoral (QRF) es un indicador clave de:

- la masa magra (tamaño y aspecto)
- la funcionalidad: esteatosis, fibrosis, edema.

La medición del **eje Y en contracción** nos orienta sobre la **salud** del músculo.





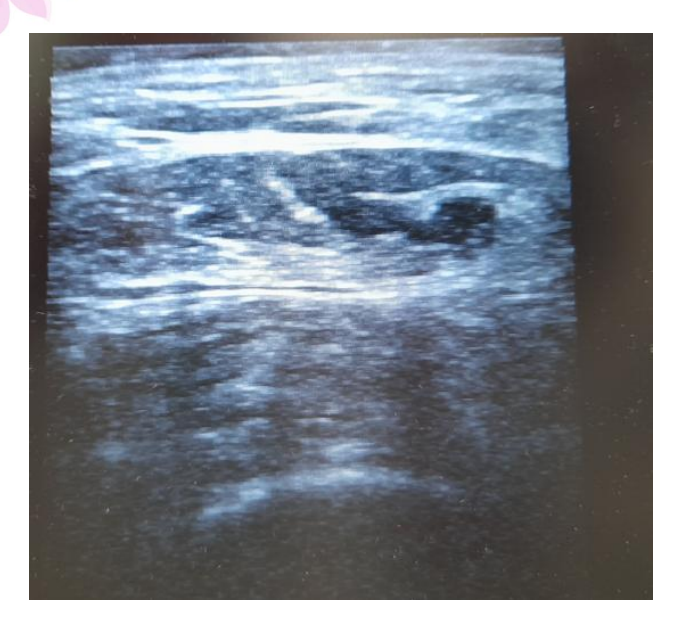




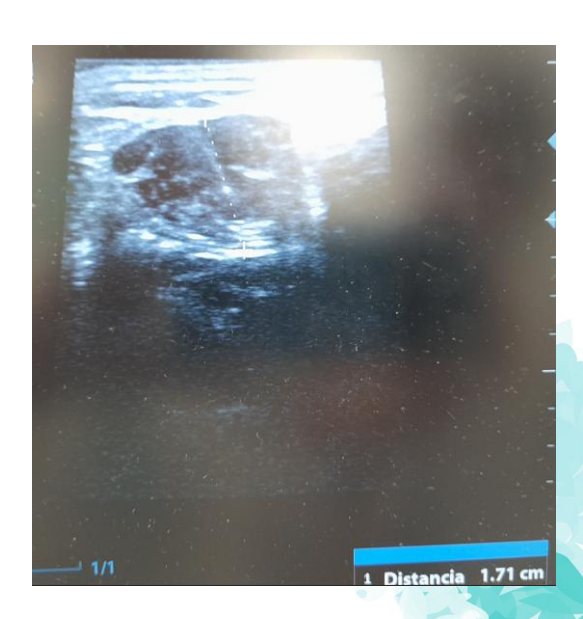






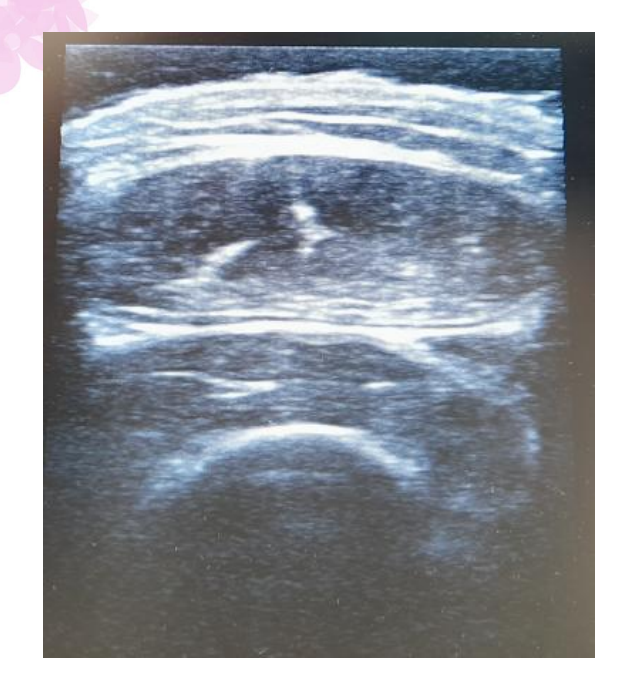




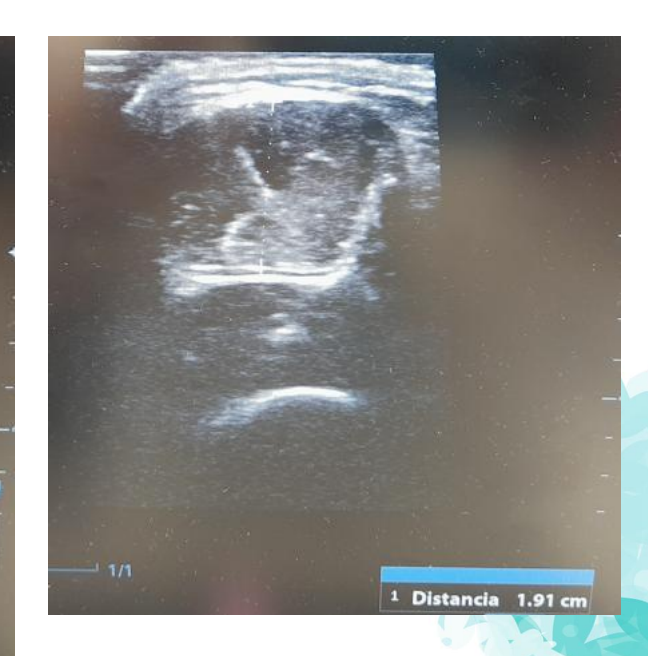
















# Ecografía del tejido adiposo

#### Con el paciente en decúbito supino:

- Medición de los **tejidos adiposos subcutáneos**: se coloca el transductor entre el **apéndice xifoides** y el **ombligo** en la línea media. Las imágenes se toman durante la expiración, en un plano **transversa**l con una profundidad de sonda variable de 4-10 cm, perpendicular a la piel. Se diferencian las capas **superficia**l y **profunda**.
- Medición del **tejido adiposo visceral** (*técnica de Hamagawa*): se determina en posición **transversal**. Medir la distancia entre el límite del **peritoneo parietal** hasta **la línea alba** en la cara interna en la unión de los dos **músculos rectos abdominales**. Para minimizar la variabilidad de la medida, repetir la medición tres veces y tomar como resultado el valor **medio**.







# Ecografía del tejido adiposo

ÁREA ABDOMINAL

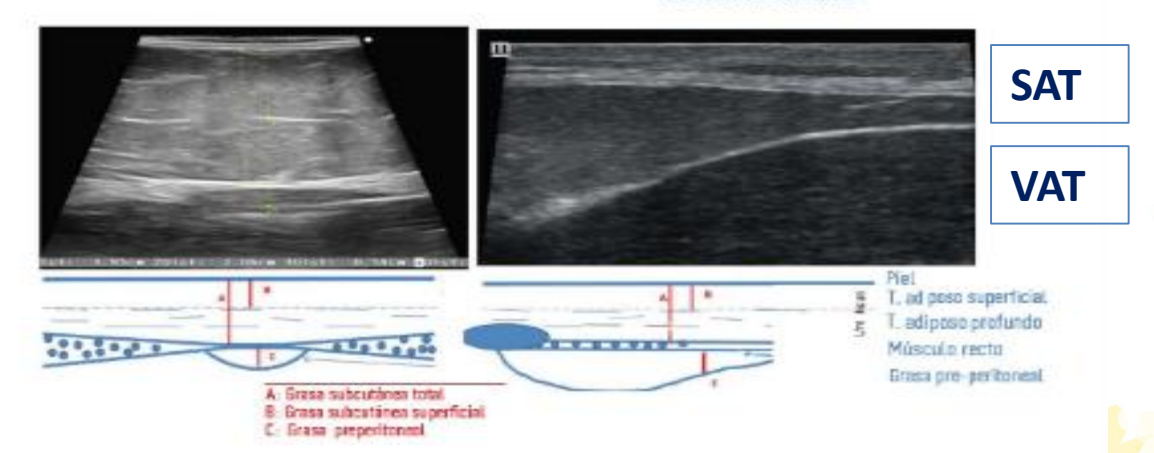






TRANSVERSAL

LONGITUDINAL







## Ecografía del tejido adiposo

ÁREA ABDOMINAL







La distribución del tejido **adiposo subcutáneo y visceral** proporciona información sobre:

- las reservas energéticas, regulación neuroendocrina (profunda)
- el patrón inflamatorio, esteatosis y síndrome metabólico

AΤ

AT



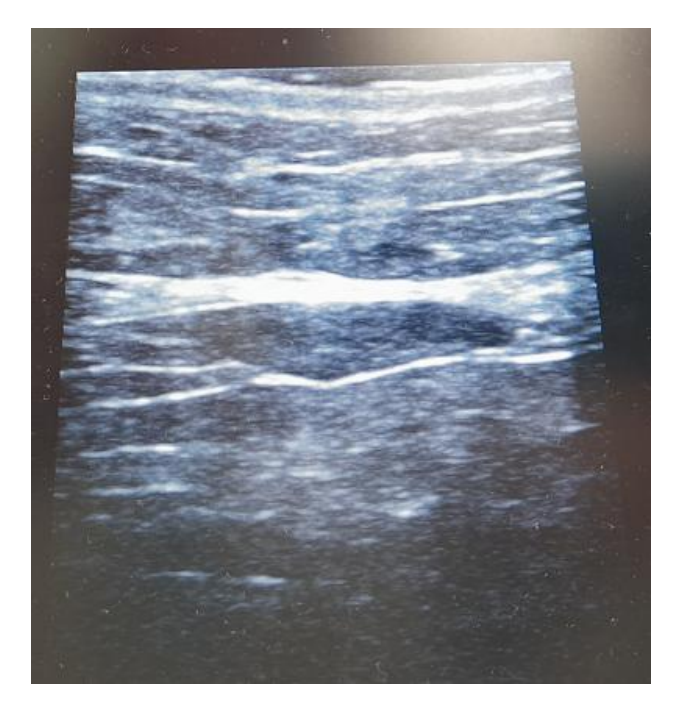


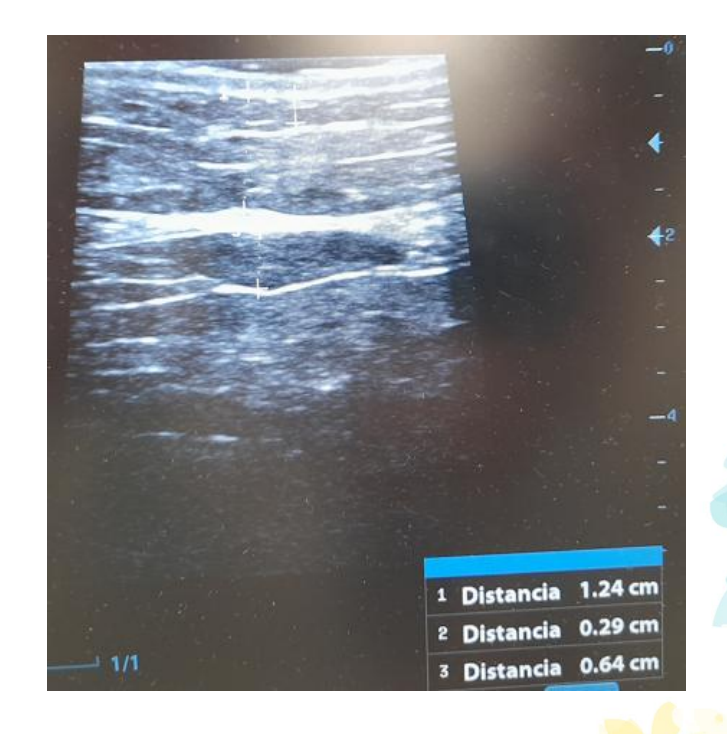






# **Seffi** Corte transversal

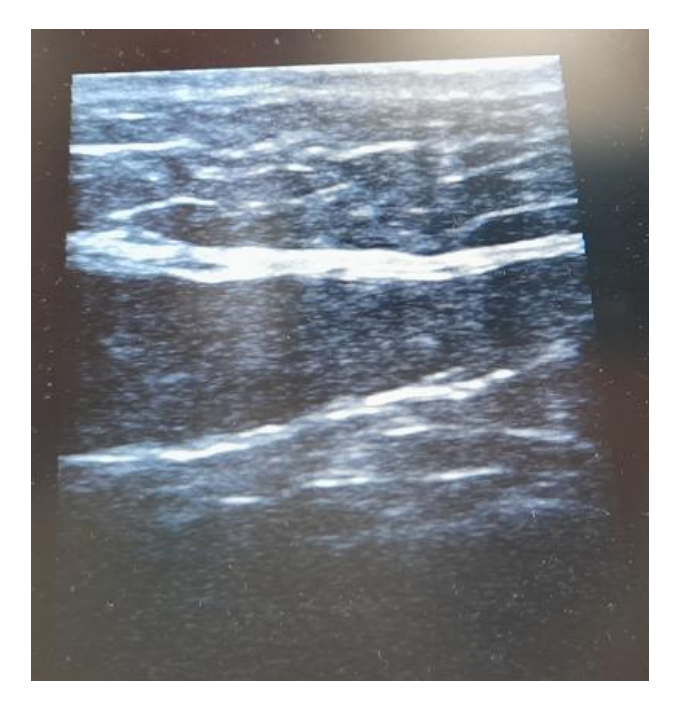


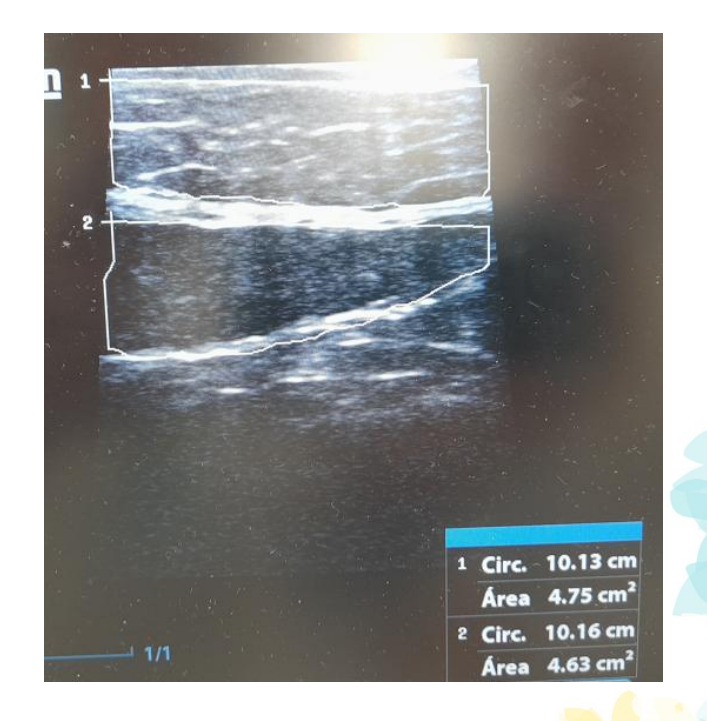






# **Ecografía del tejido adiposo: Corte longitudinal**







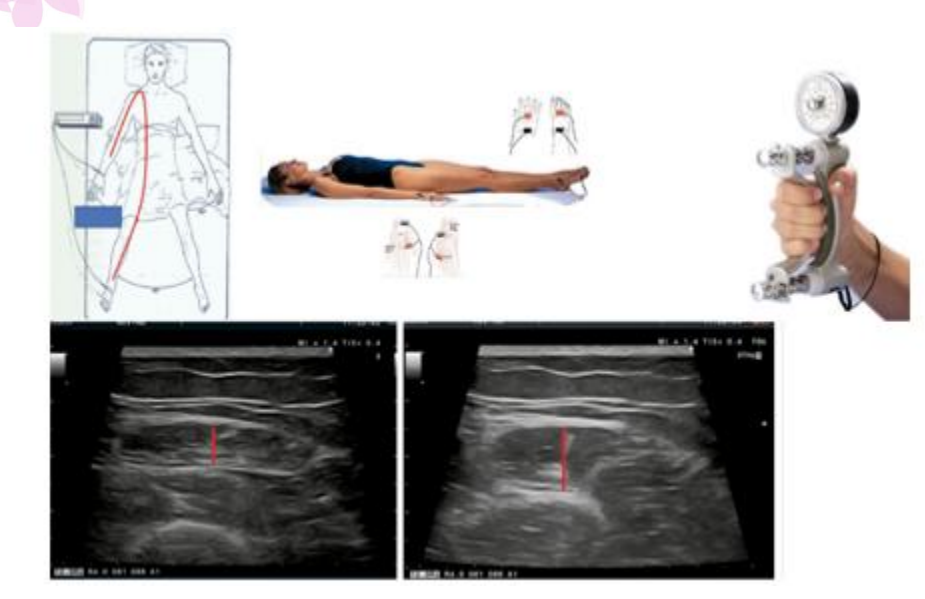


# **APLICACIONES CLÍNICAS**











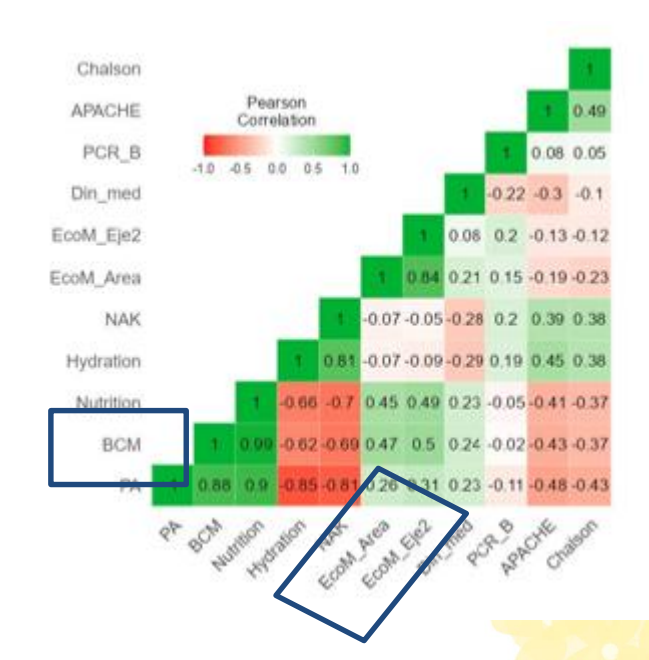


# VALENCIA2023

ANÁLISIS PRONÓSTICO Y DE CORRELACIÓN ENTRE TÉCNICAS DE VALORACIÓN MORFOFUNCIONAL (ÁNGULO DE FASE, ÁREA DEL MÚSCULO RECTO FEMORAL Y DUNAMOMÉTRICA) CON SCORES CLÍNICOS EN PACIENTES CRÍTICOS

Blanco Bennejo C<sup>1</sup>, Martinez López, P<sup>2</sup>, Vallejo Blasz A<sup>2</sup>, Fernández Jiménez R<sup>3</sup>, Estecha Fonces MA<sup>2</sup>, García Almeida JM<sup>3</sup>

FUGC Farmada. <sup>3</sup> UGC Medicina Interniva. FUGC Endocrinologia y Nutrición Hospital Universitario Virgen de la Victoria. Milaga





# DETECCIÓN DE SARCOPENIA EN PACIENTES CRÍTICOS: EVALUACIÓN MORFOFUNCIONAL CON BIOIMPEDANCIA Y ECOGRAFÍA MUSCULAR.



Estudio observacional prospectivo en práctica clínica habitual

73 pacientes de UCI

Apache 15,5 ±8,22

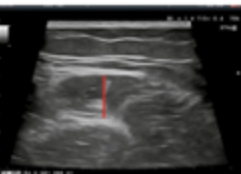
En las 72 primeras horas de ingreso

Edad: 61±17.1 años Sexo: 57.5% varones









Variables

Sarcopenia

EcoM\_Area EcoM\_Eje2 Edad Ángulo de Fase AF estandarizado NaK





# DETECCIÓN DE SARCOPENIA EN PACIENTES CRÍTICOS: EVALUACIÓN MORFOFUNCIONAL CON BIOIMPEDANCIA Y ECOGRAFÍA MUSCULAR.



### Resultados

#### 38,5 % DE SARCOPÉNICOS

Variable	Prueba aplicada	p-valor	No <u>Sarcopénico</u> (Media ± SD)	Sarcopénico (Media ± SD)
Age	Mann-Whitney U	0.042	59.02 ± 16.135	65.84 ± 17.992
PA	Student's t	0.244	3.77 ± 1.338	3.4 ± 1.004
NAK	Mann-Whitney U	0.661	2.08 ± 1.257	1.85 ± 0.688
SPA	Student's t	0.803	-2.5 ± 1.708	-2.43 ± 1.544
EcoM Area	Mann-Whitney U	0.012	3.9 ± 1.471	3.08 ± 1.084
EcoM_Eje2	Mann-Whitney U	0.002	1.28 ± 0.379	1.0 ± 0.327

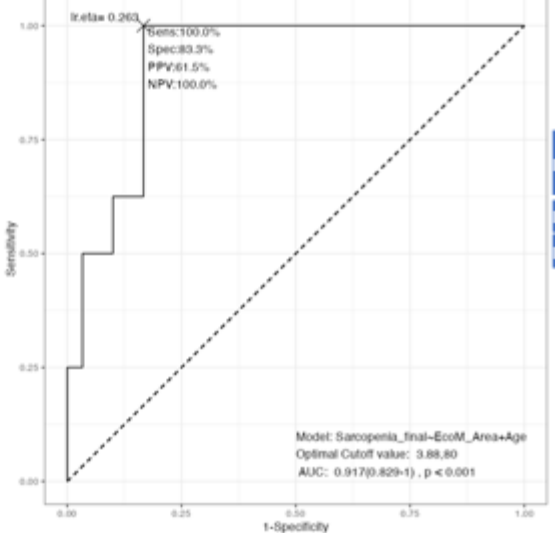




# DETECCIÓN DE SARCOPENIA EN PACIENTES CRÍTICOS: EVALUACIÓN MORFOFUNCIONAL CON BIOIMPEDANCIA Y ECOGRAFÍA MUSCULAR.



#### **HOMBRES**



Escala	Punto de corte	Sensibilidad (%)	Especificidad (%)	Youden's Index	PPV (%)	NPV (%)
EcoM_Area	3.29	80	87.5	0.675	96	53.85
EcoM Eie2	1.00	90	87.5	0.775	96.43	70





## Valores de Corte de Ultrasonido para el Recto Femoral en la Detección de Sarcopenia en Pacientes con Riesgo Nutricional -Parte 1

#### Estudio DRECO: Contexto

Estudio nacional, prospectivo, multicéntrico y de cohorte diseñado para evaluar la utilidad del ultrasonido del recto femoral.

#### Objetivo Principal

Detectar sarcopenia en pacientes hospitalizados con riesgo de malnutrición y definir valores de corte de medidas de ultrasonido.

#### Participantes

Pacientes con riesgo de malnutrición según el MUST. 1000 sujetos incluidos (991 evaluados: 58.9% hombres, edad media 58.5 años).

### Metodología de Evaluación

#### Pruebas Realizadas

Dinamometría de agarre, análisis de bioimpedancia (BIA), Timed Up and Go (TUG) y ultrasonido del recto femoral.

#### Criterios de Sarcopenia

Se utilizaron los criterios EWGSOP2 para definir categorías: en riesgo, probable, confirmada y grave.

#### Análisis Estadístico

Análisis ROC y AUC para determinar sensibilidad, especificidad y valores predictivos de los puntos de corte.



## Valores de Corte de Ultrasonido para el Recto Femoral en la Detección de Sarcopenia en Pacientes con Riesgo Nutricional - Parte 2 Hallazgos Clave y Resultados

#### Prevalencia de Sarcopenia

Riesgo: 9.6%, Probable: 14%, Confirmada: 9.7%, Grave: 3.9%. Diferencias significativas por género (p < 0.0001).

#### Correlaciones Significativas

El área transversal (CSA) del recto femoral se correlacionó positivamente con la masa celular corporal (BIA) y la fuerza de agarre, y negativamente con TUG.

#### Valores de Corte (Rangos)

CSA: 2.40 cm<sup>2</sup> a 3.66 cm<sup>2</sup>. Eje X: 32.57 mm a 40.21 mm. Eje Y: 7.85 mm a 10.4 mm.

#### Sensibilidad de los Valores de Corte

Alta Sensibilidad

Especialmente para sarcopenia confirmada y grave.

#### Diferencia por Género

Los pacientes masculinos mostraron una mejor sensibilidad.

#### Conclusiones del Estudio

#### Prevalencia Elevada

La sarcopenia es alta en pacientes hospitalizados con riesgo de malnutrición.

#### Utilidad del Ultrasonido

El ultrasonido del recto femoral puede predecir la sarcopenia e integrar el estudio nutricional en la práctica clínica.





# Predictors of Sarcopenia in Outpatients with Post-Critical SARS-CoV2 Disease. Nutritional Ultrasound of Rectus Femoris Muscle, a Potential Tool - Parte 1

#### Diseño y Población

Estudio transversal con 30 pacientes ambulatorios post-COVID-19 crítico.

#### Evaluaciones Realizadas

- Estado nutricional por ultrasonido (RF-CSA, grosor, tejido adiposo subcutáneo).
- BIA (Bioimpedancia Vectorial).
- Fuerza de agarre.
- · Timed Up-and-Go Test.
- · Variables clínicas durante la admisión.

### Resultados Preliminares y Prevalencia

#### Sarcopenia y Obesidad

Según el Consenso ESPEN&EASO:

- Obesidad Sarcopénica Clase 1: 23.4% (n=7).
- Obesidad Sarcopénica Clase 2: 33.3% (n=10).

#### Deterioro Funcional

- Fuerza de agarre < P10: 46.7% (n=14).</li>
- Timed Up-and-Go > 10s: 30% (n=9).





# Predictors of Sarcopenia in Outpatients with Post-Critical SARS-CoV2 Disease. Nutritional Ultrasound of Rectus Femoris Muscle, a Potential Tool - Parte 2

#### Correlaciones Fuertes

Correlaciones fuertes entre técnicas morfológicas (BIVA, Ultrasonido) y mediciones funcionales musculares.

#### Modelos Predictivos

- RF-CSA (R<sup>2</sup> 0.792)
- Grosor muscular (R<sup>2</sup> 0.774)
- Fuerza de agarre (R<sup>2</sup> 0.856)

#### Valor de Corte

RF-CSA/peso de  $5.3 \text{ cm}^2/\text{kg} \times 100$  (sensibilidad 88.2%, especificidad 69.2%).

#### Conclusiones

#### Obesidad Sarcopénica Post-COVID-19

Más de la mitad de supervivientes COVID-19 post-críticos tienen obesidad sarcopénica.

#### Utilidad del Ultrasonido

El ultrasonido permite evaluar sarcopenia en esta población.





# Assessment of Muscle Wasting in Long-Stay ICU Patients Using a New Ultrasound Protocol

#### Protocolo

Evaluación del músculo recto femoral del cuádriceps (QRF) en tiempo real usando ultrasonido modo B, color-Doppler y modo M.

#### Parámetros Medidos

Grosor del tendón central intramuscular, área transversal y grosor muscular del QRF en modo B de ultrasonido.

#### Análisis Estadístico

Observacional prospectivo

Regresión logística multivariable realizada en 29 casos y 19 controles para identificar variables predictivas.

#### Resultados Significativos

p < 0.001

Área y Grosor Muscular

Disminución significativa del área y grosor del músculo QRF en casos versus controles. p=0.047

Tendón Central

Aumento significativo del grosor del tendón central en pacientes con sarcopenia. p<0.001

Características Tisulares

Diferencias en ecogenicidad, actividad angiogénica, fasciculaciones, edema subcutáneo y fluido intramuscular.

Variables Predictivas del Análisis Multivariado

Área Muscular

Factor protector significativo contra la sarcopenia.

Grosor del Tendón Central

Factor de riesgo para el desarrollo de sarcopenia.



Nutrients 2018, 10, 1849; doi:10.3390/nu10121849



## Muscle Thickness and Echogenicity Measured by Ultrasound Could Detect Local Sarcopenia and Malnutrition in Older Patients Hospitalized for Hip Fracture - Parte 1

#### Diseño del Estudio

Estudio observacional enfocado en pacientes mayores con fractura de cadera.

#### Metodología de Evaluación

- Estado Nutricional: Global Leadership Initiative on Malnutrition (GLIM)
- Riesgo de Disfagia y Sarcopenia: European Working Group on Sarcopenia in Older People (EWGSOP)
- · Índice Funcional: Barthel functional index

#### **Objetivos Principales**

Evaluar la utilidad del ultrasonido para detectar sarcopenia y desnutrición.

#### Mediciones con Ultrasonido

Se midieron el grosor muscular y la ecogenicidad de:

- Masetero
- Bíceps
- · Cuádriceps (Recto Femoral y Vasto Intermedio)





### Muscle Thickness and Echogenicity Measured by Ultrasound Could Detect Local Sarcopenia and Malnutrition in Older Patients Hospitalized for Hip Fracture - Parte 2

#### Resultados principales

101 pacientes incluidos (29.7% sarcopenia, 43.8% malnutrición).

#### Grosor del Masetero

Asociación inversa con sarcopenia (OR: 0.56) y malnutrición (OR: 0.38).

#### Grosor del Cuádriceps

Asociación inversa con sarcopenia (OR: 0.74).

#### Asociaciones funcionales específicas

#### Riesgo de Disfagia

Pacientes con alto riesgo de disfagia: menor grosor del masetero (p: 0.0001).

#### Capacidad de Autoalimentación

Pacientes capaces de autoalimentarse: mayor grosor del bíceps (p: 0.002).

#### Movilidad en Superficies Planas

Individuos con movilidad: mayor grosor de bíceps (p: 0.008) y cuádriceps (p: 0.04).

#### Conclusiones

#### Rol del Ultrasonido

El grosor del masetero se asocia con riesgo de disfagia, el bíceps con capacidad de autoalimentación, y el cuádriceps RF-VI con movilidad.



# Head and Neck Cancer: A Large-Scale and Multicenter Prospective Study -

#### Diseño del Estudio

Estudio observacional transversal, multicéntrico y prospectivo.

#### Población

494 pacientes con Cáncer de Cabeza y Cuello (HNC).

#### Metodología

#### **Evaluaciones Completas**

Se implementaron diversas herramientas y mediciones de composición corporal.

#### Evaluación Muscular por Ultrasonido

Mediciones de masa muscular y tejido adiposo mediante ultrasonido.

#### Hallazgos Principales

#### RF-CSA y Malnutrición

Altos niveles de RF-CSA (área de sección transversal del recto femoral) se asociaron con un riesgo disminuido de malnutrición.

- Según criterios GLIM: OR = 0.81 (95% CI: 0.68-0.98)
- Según PG-SGA: OR = 0.78 (95% CI: 0.62-0.98)

#### RF-CSA y Sarcopenia

Altos niveles de RF-CSA también se vincularon con un menor riesgo de sarcopenia.

OR = 0.64 (95% CI: 0.49-0.82)

#### Variables Clave

RF-CSA fue la variable más importante en el modelo de bosque aleatorio para predecir mortalidad.

 Valores bajos de RF-CSA (< 2.7 cm<sup>2</sup>) se asociaron con peores tasas de supervivencia (p < 0.001).</li>



Nutrients 2024, 16, 387



# Ultrasound Muscle Evaluation for Predicting the Prognosis of Patients with Head and Neck Cancer: A Large-Scale and Multicenter Prospective Study - Parte 2

Valor de Corte Crítico

RF-CSA < 2.7 cm<sup>2</sup> (AUC 0.653) clasifica 68% de pacientes con alta probabilidad de supervivencia.

Supervivencia

Pacientes con RF-CSA  $< 2.7 \text{ cm}^2$  tuvieron peores tasas de supervivencia (p < 0.001).

Tejido adiposo: Mediciones por ultrasonido débilmente asociadas con malnutrición, no con sarcopenia.

#### **Conclusiones**

#### Masa Muscular vs. Tejido Adiposo

La masa muscular es indicador más importante que el tejido adiposo.

#### Utilidad del Ultrasonido

El ultrasonido permite diagnósticos precisos y monitoreo de malnutrición, mejorando supervivencia y calidad de vida mediante intervención temprana y manejo nutricional personalizado.





## Limitaciones y Desafíos Futuros

Aunque la NUº tiene un gran potencial, enfrenta desafíos como la falta de puntos de corte validados, la necesidad de estandarización técnica y la dependencia de la experiencia del operador.





#### Formación especializada

Es crucial desarrollar programas de formación para especialistas clínicos

#### Estudios poblacionales

Necesidad de estudios que permitan establecer valores de referencia ajustados por edad, sexo y otras variables antropométricas.



https://doi.org/10.1016/j.endinu.2022.03.008



## Retos futuros:

Estandarizar planes de valoración y seguimiento adecuados a estos pacientes

Aplicación clínica de la desnutrición relacionada con la enfermedad. Ed Panamericana. ISBN 978-84-1106-347-0







## Conclusión

# Una herramienta prometedora para el futuro

En resumen, la ecografía nutricional\* es una herramienta prometedora para el diagnóstico y seguimiento de la malnutrición, con aplicaciones clínicas en diversas patologías y escenarios. Su integración en la práctica clínica puede mejorar significativamente la evaluación y el tratamiento de los pacientes.







MÁLAGA 15-17 OCT 25



# Gracias

Carmenj.blanco.sspa@juntadeandalucia.es